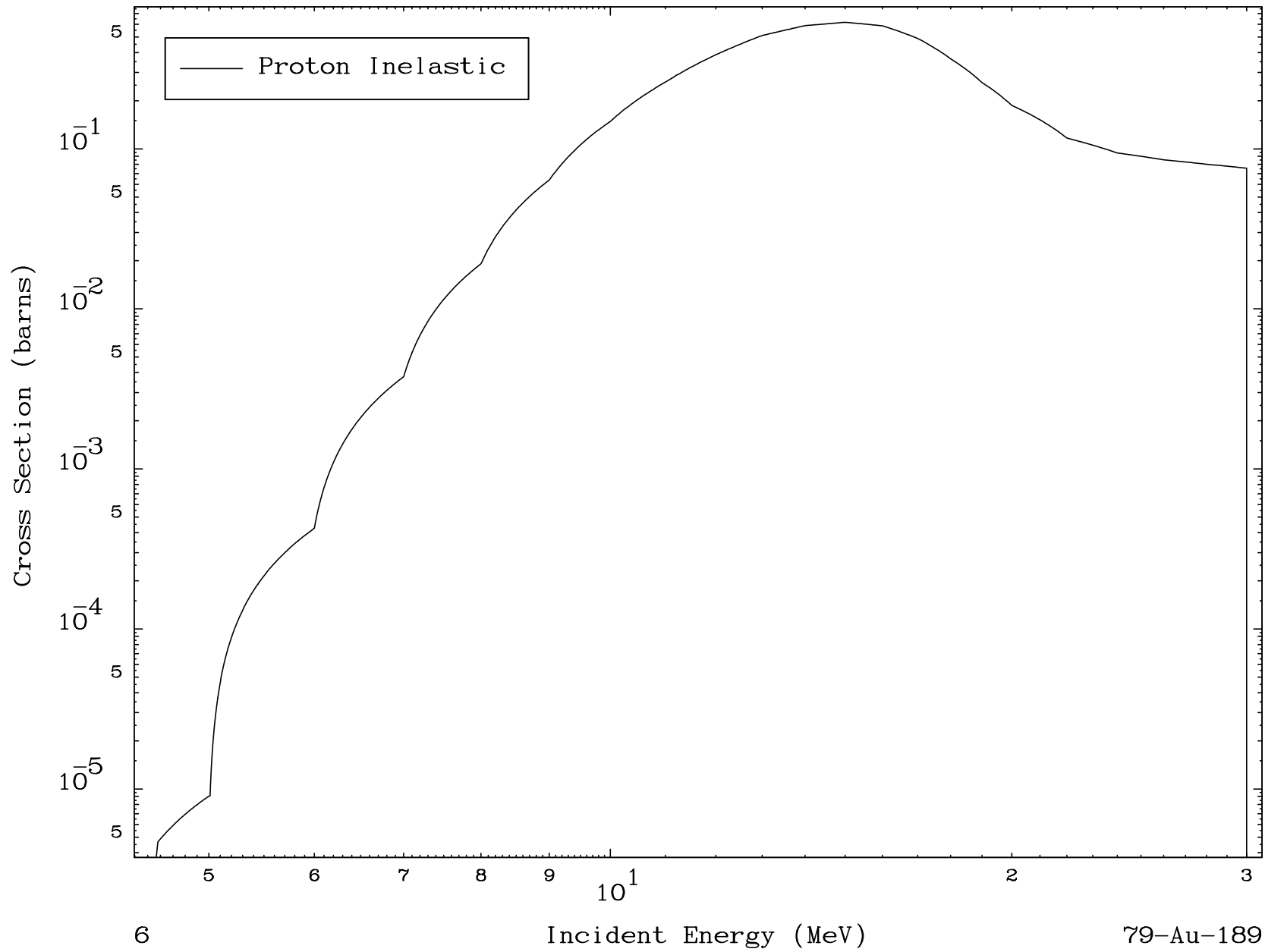
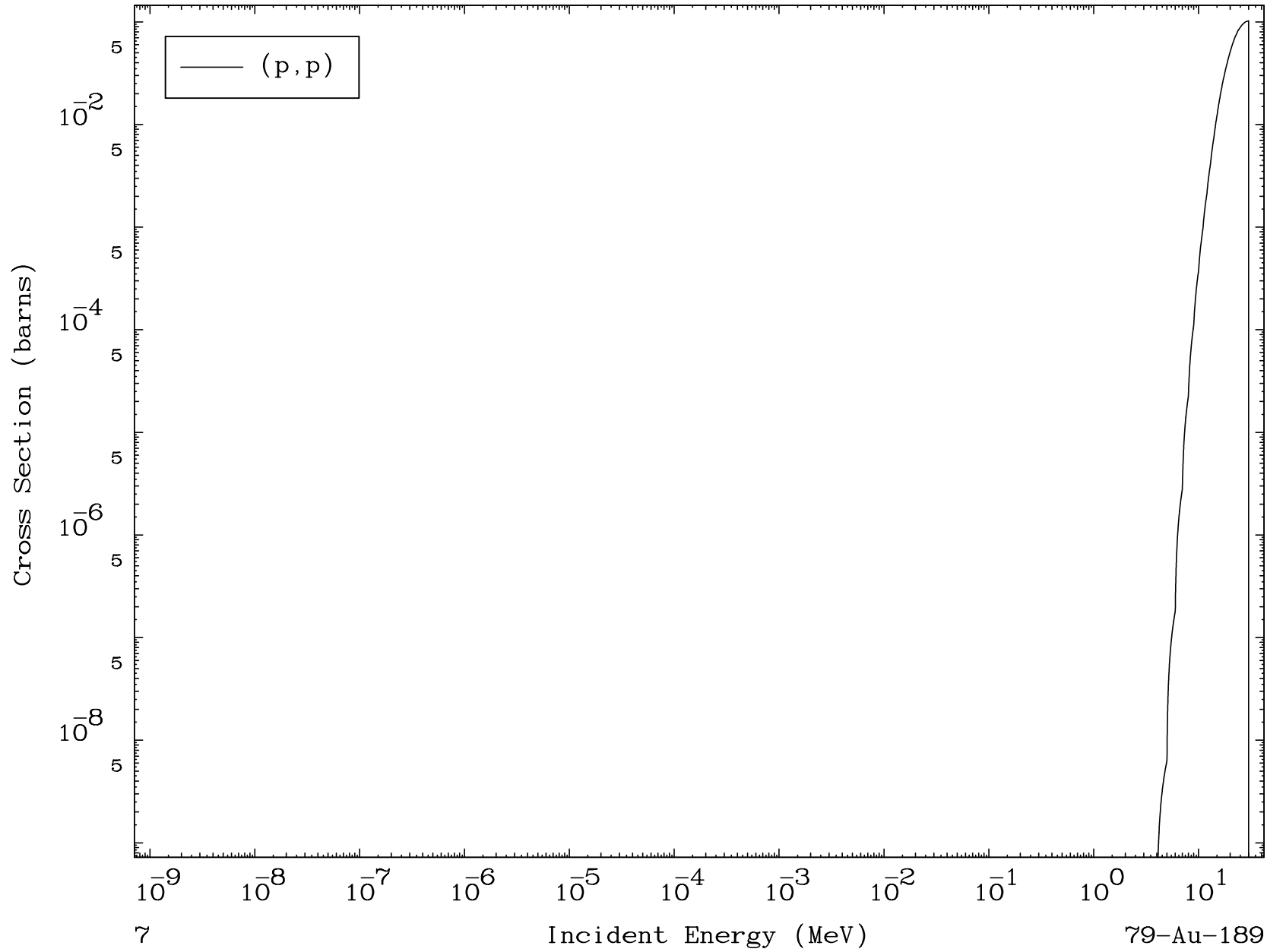


MAT 7902

(p,n') Level  
0 Kelvin Cross Sections

79-Au-189

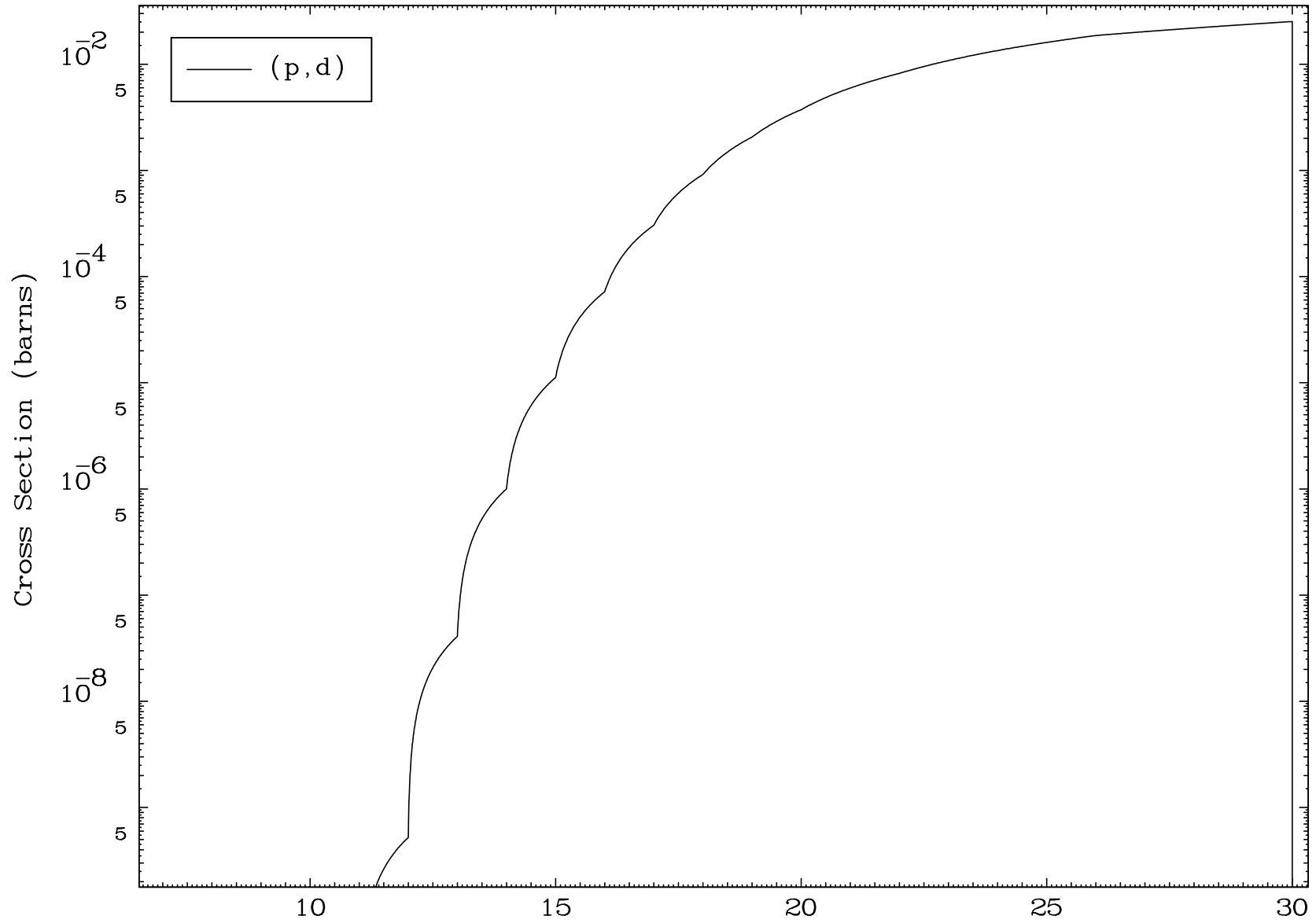




MAT 7902

(p,d) Levels  
0 Kelvin Cross Sections

79-Au-189

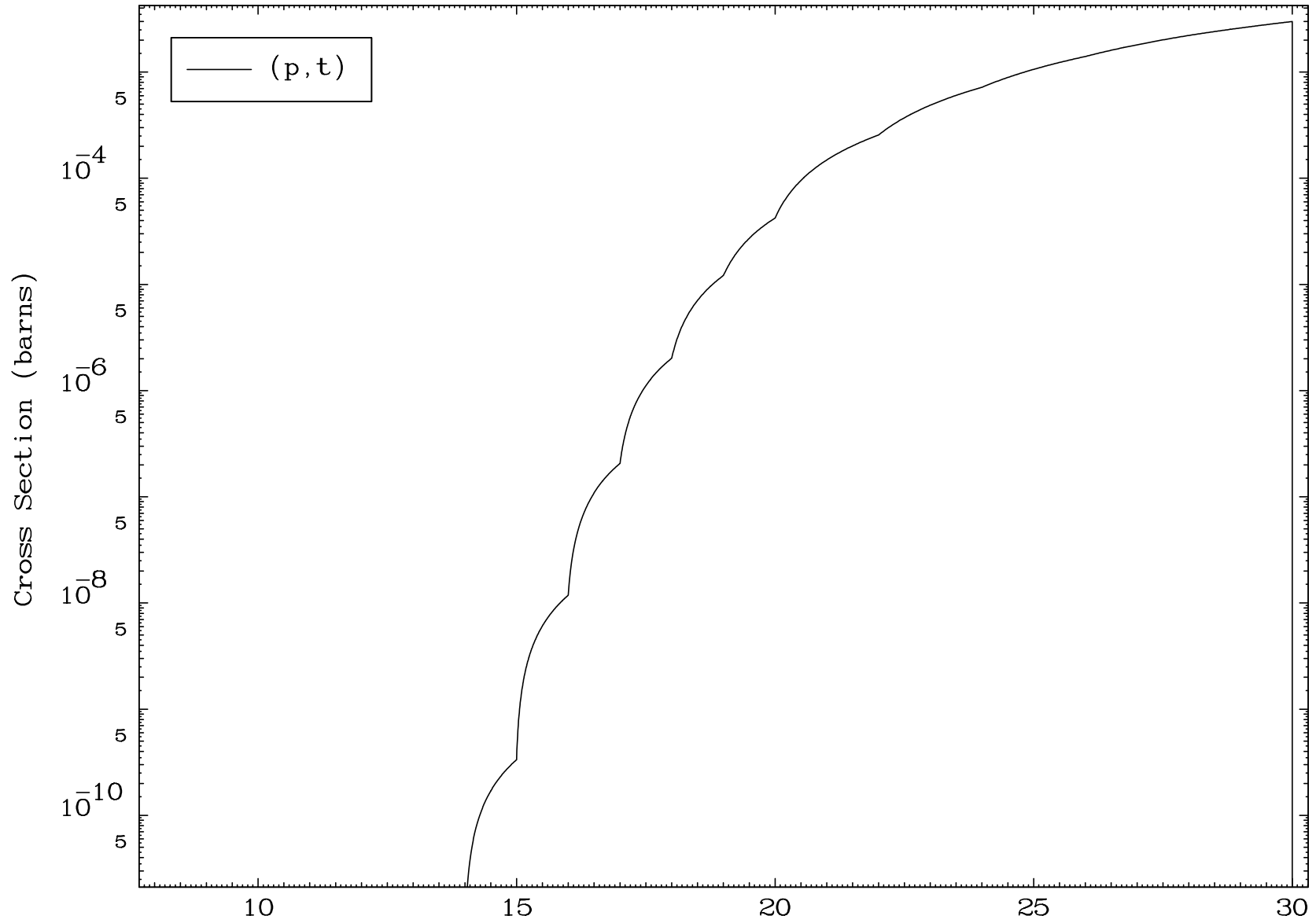


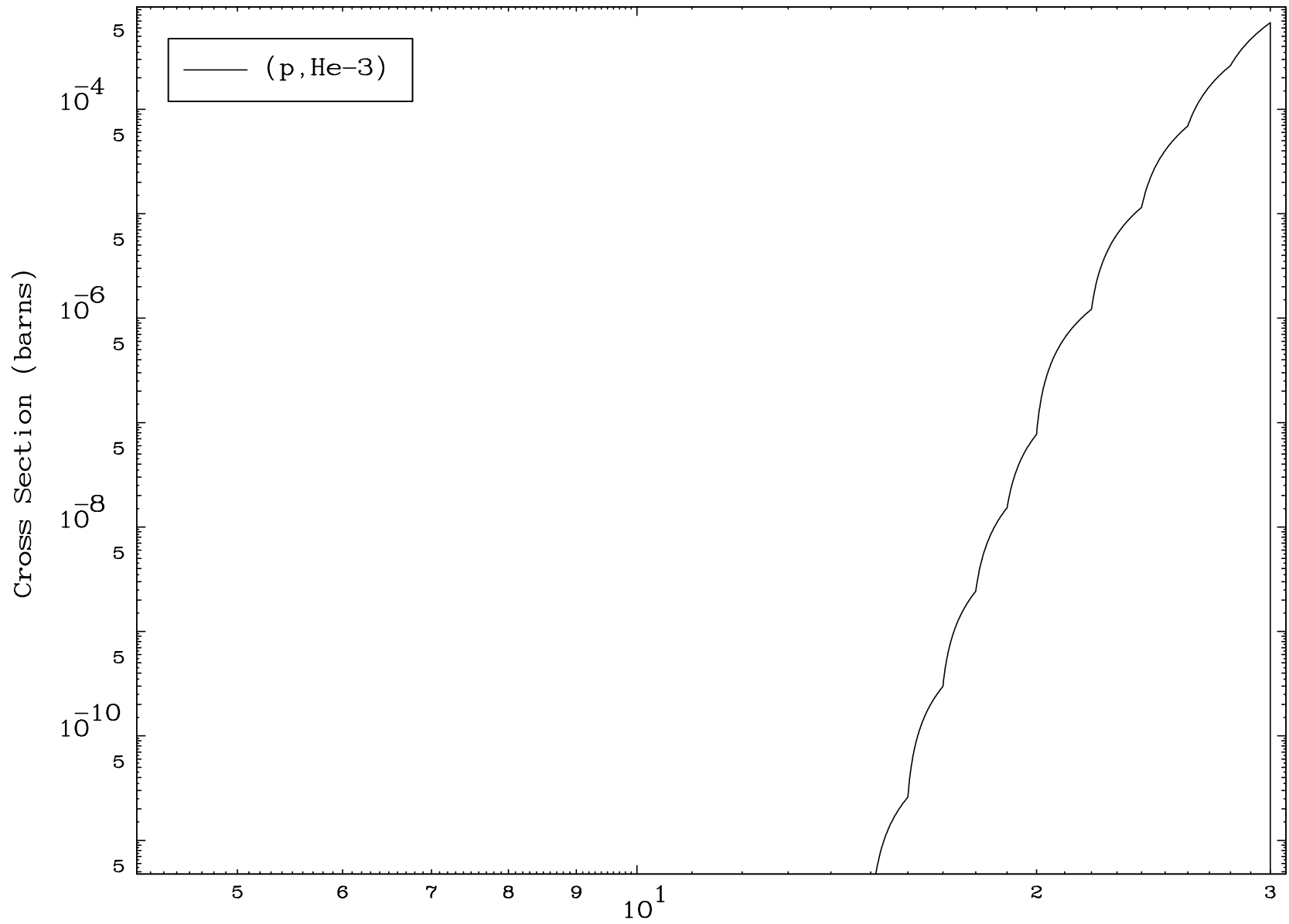
8

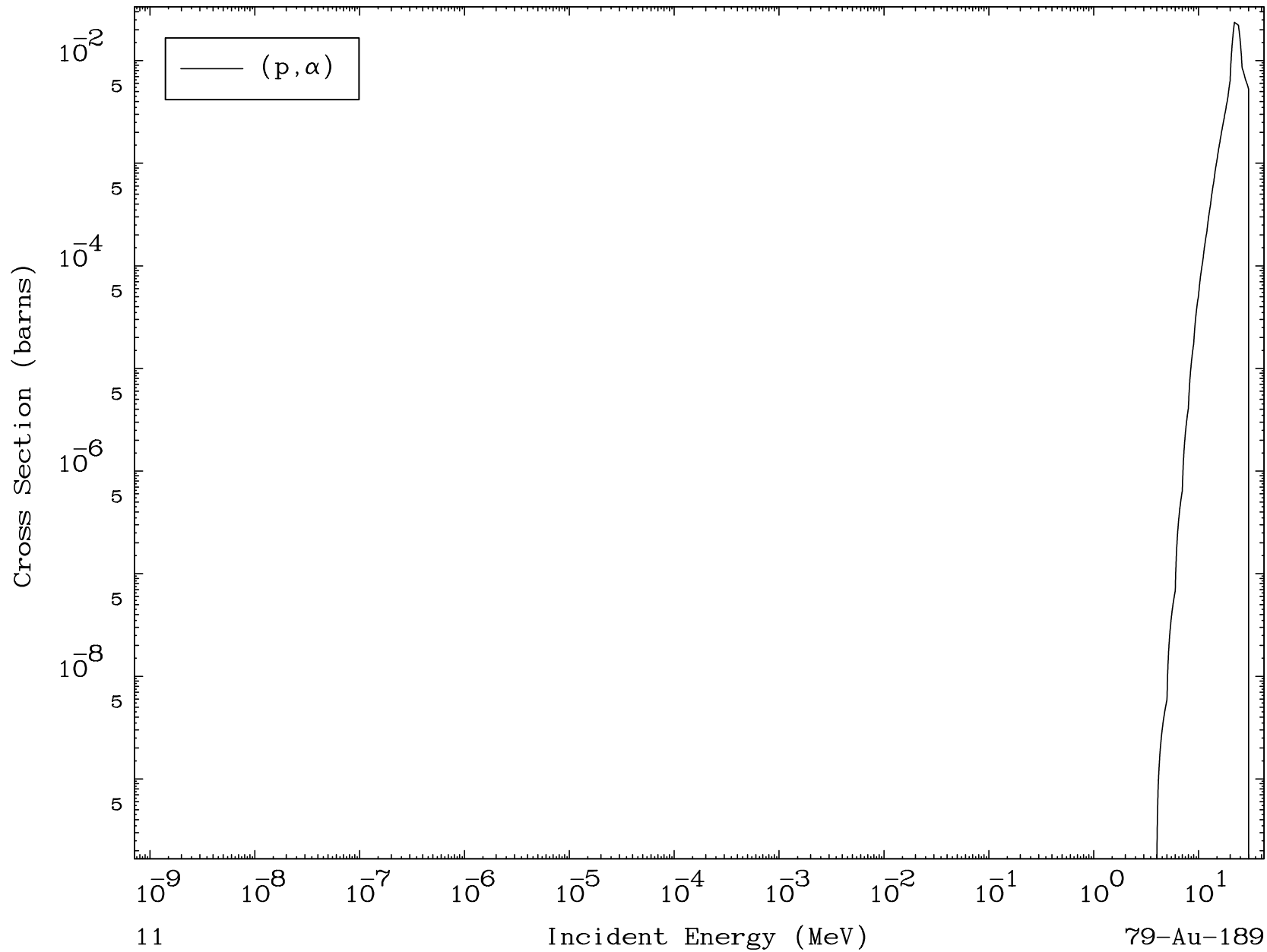
Incident Energy (MeV)

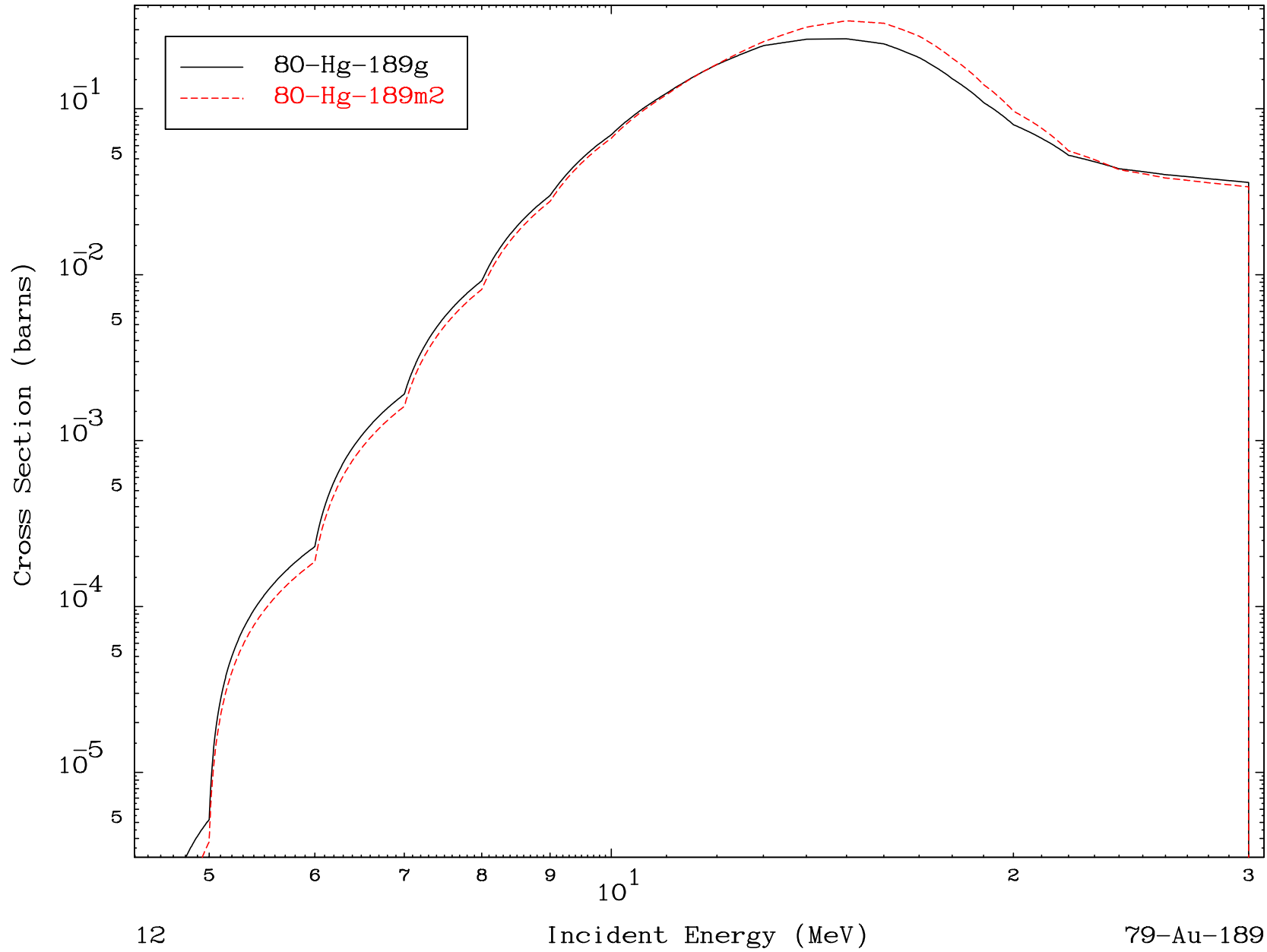
79-Au-189

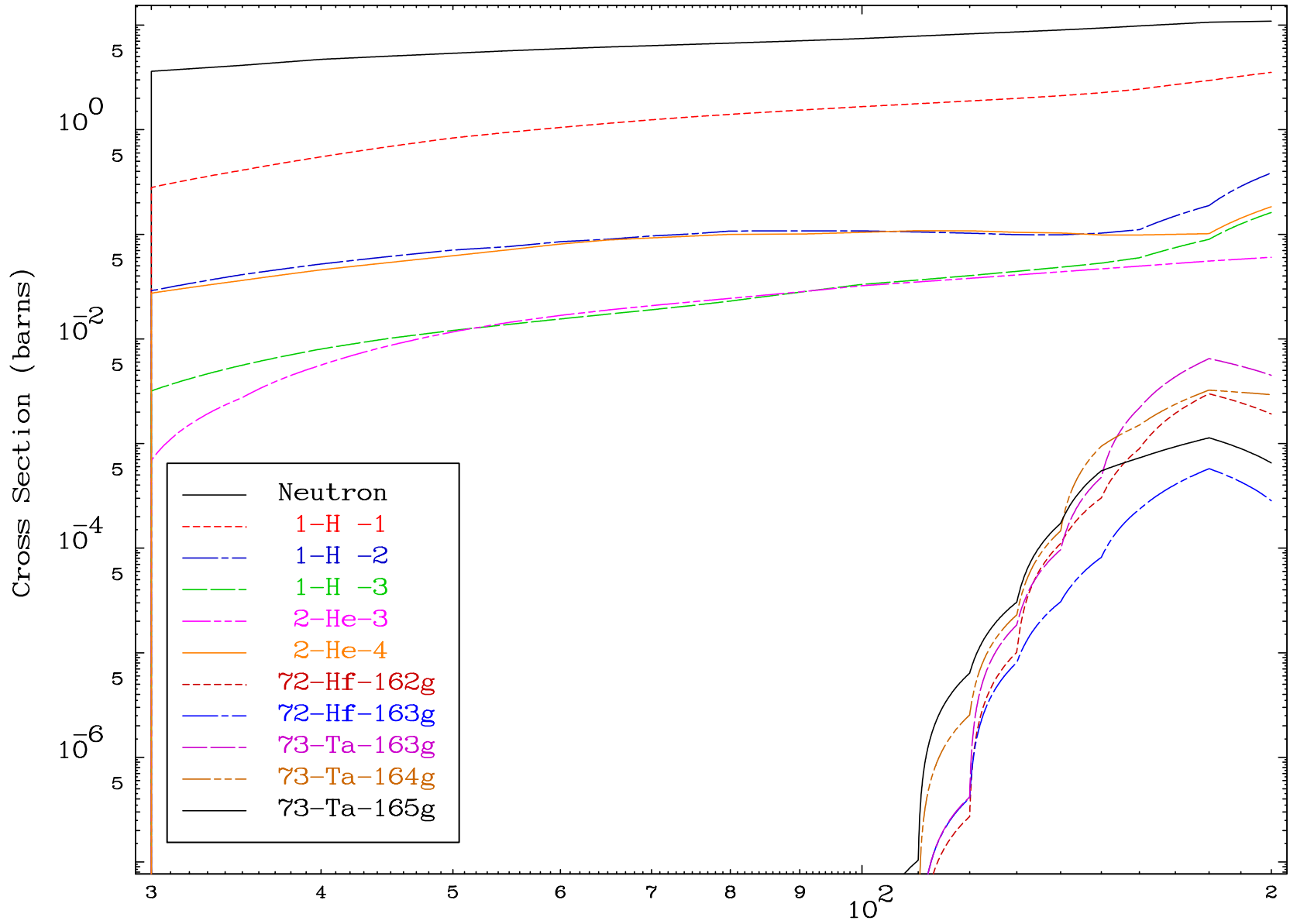




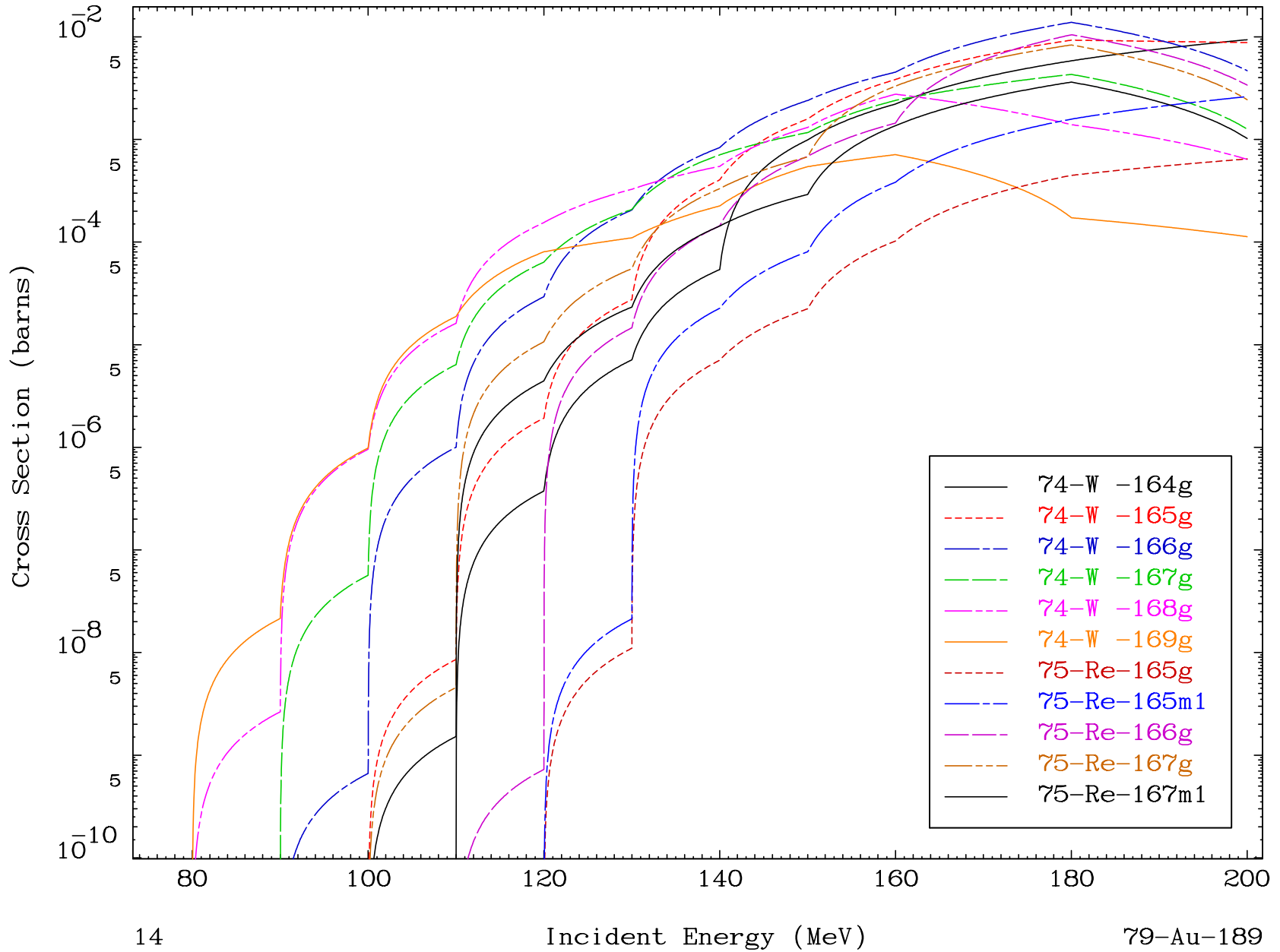




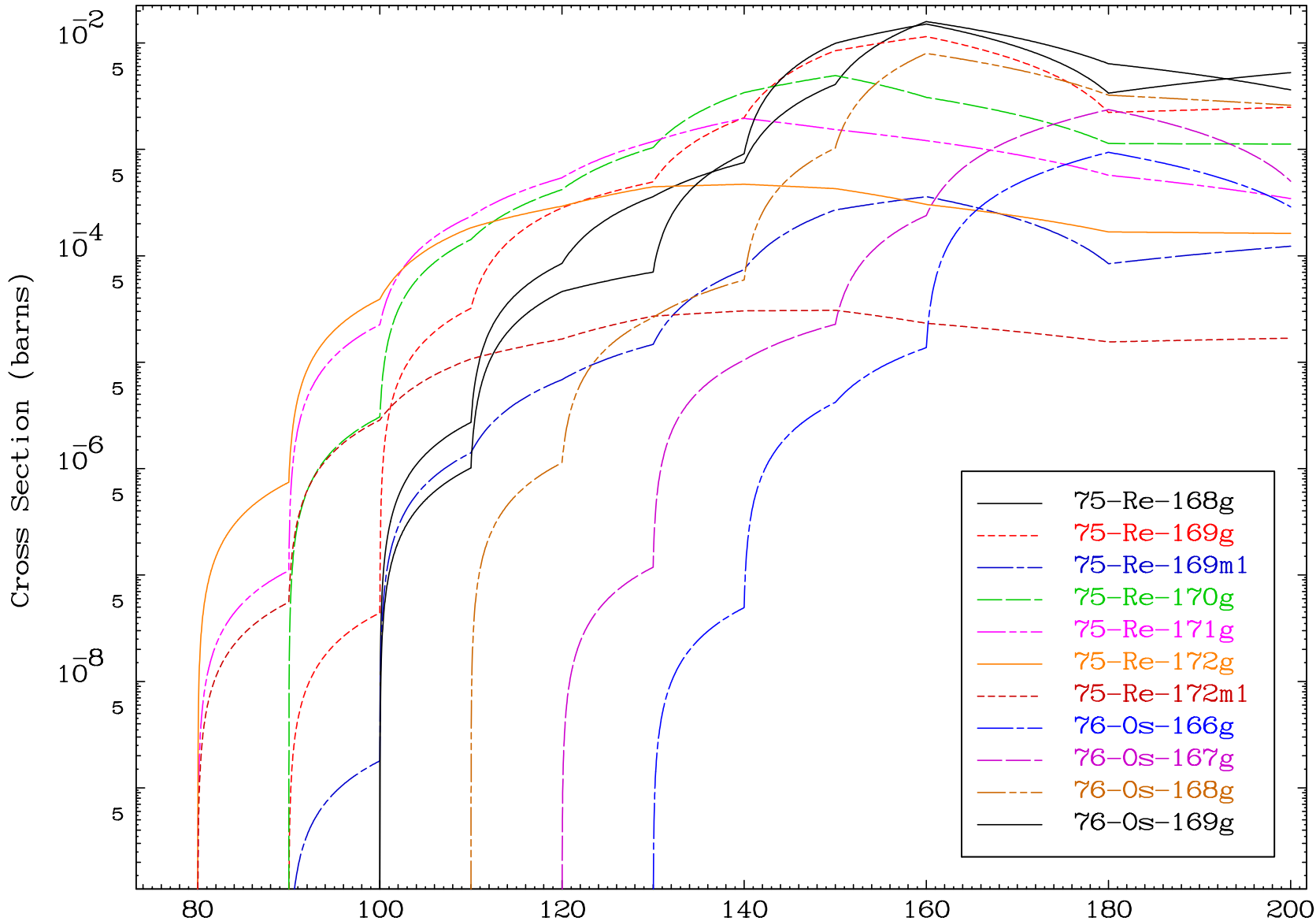


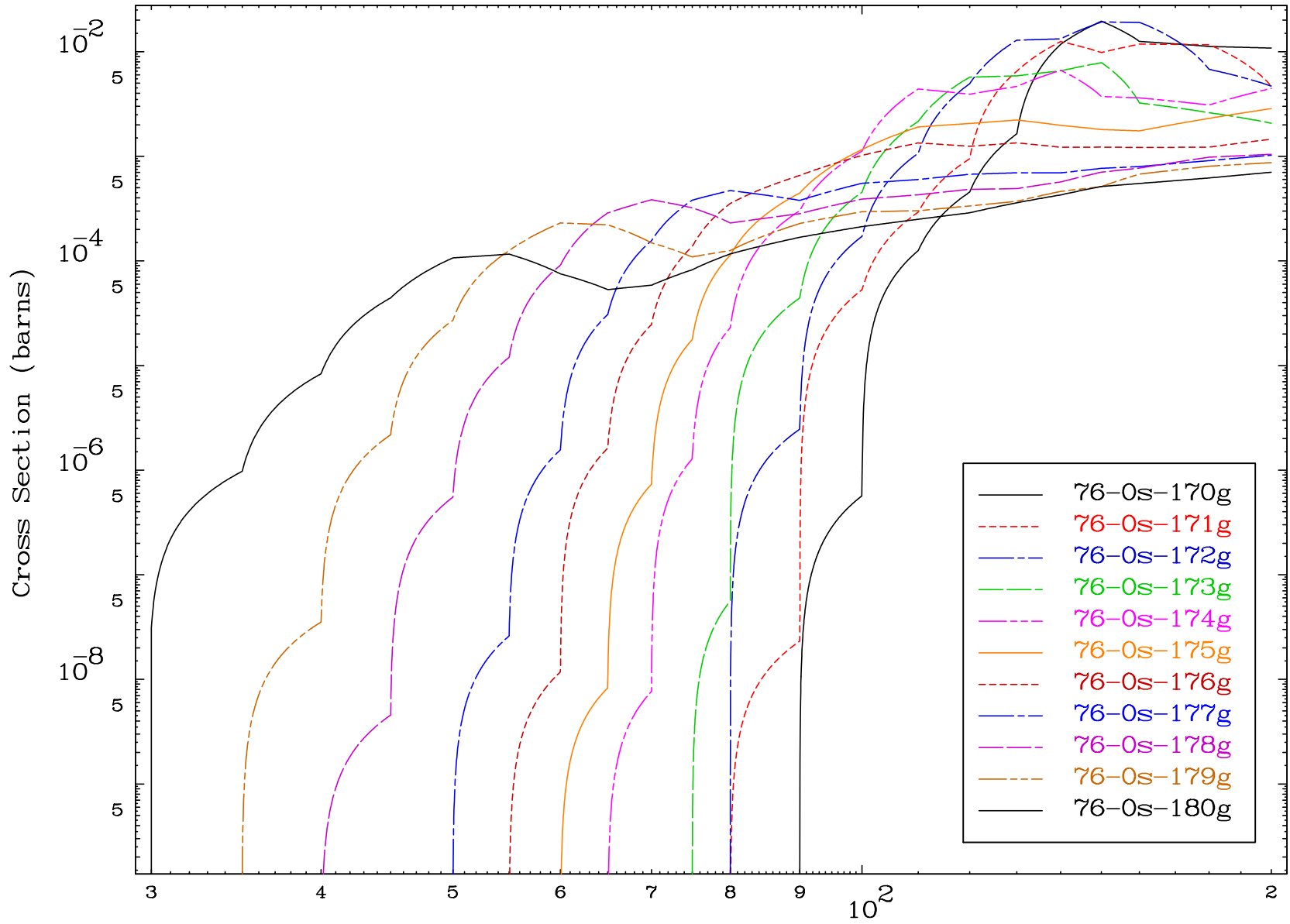


Radionuclide Production Cross Section



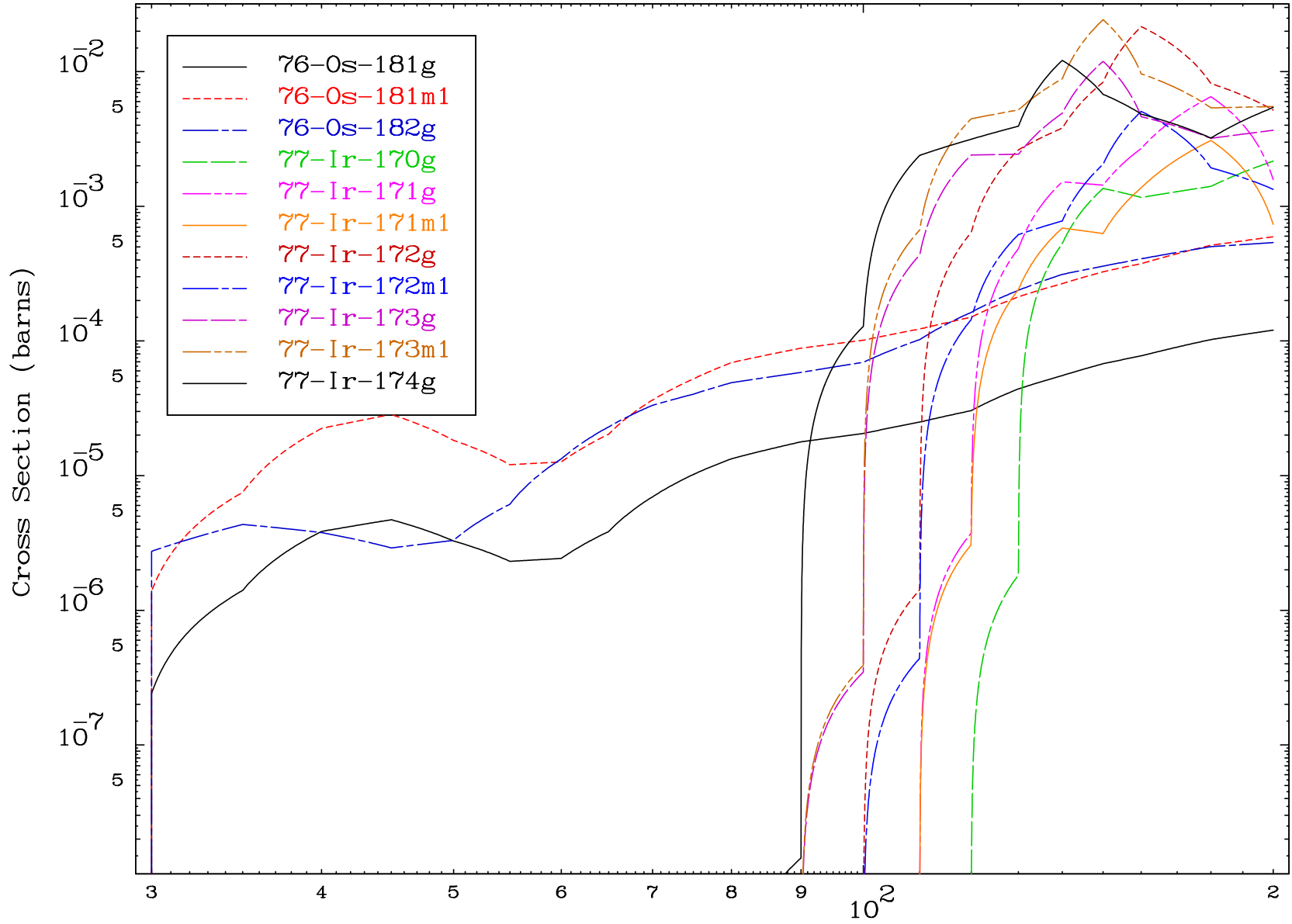
Radionuclide Production Cross Section

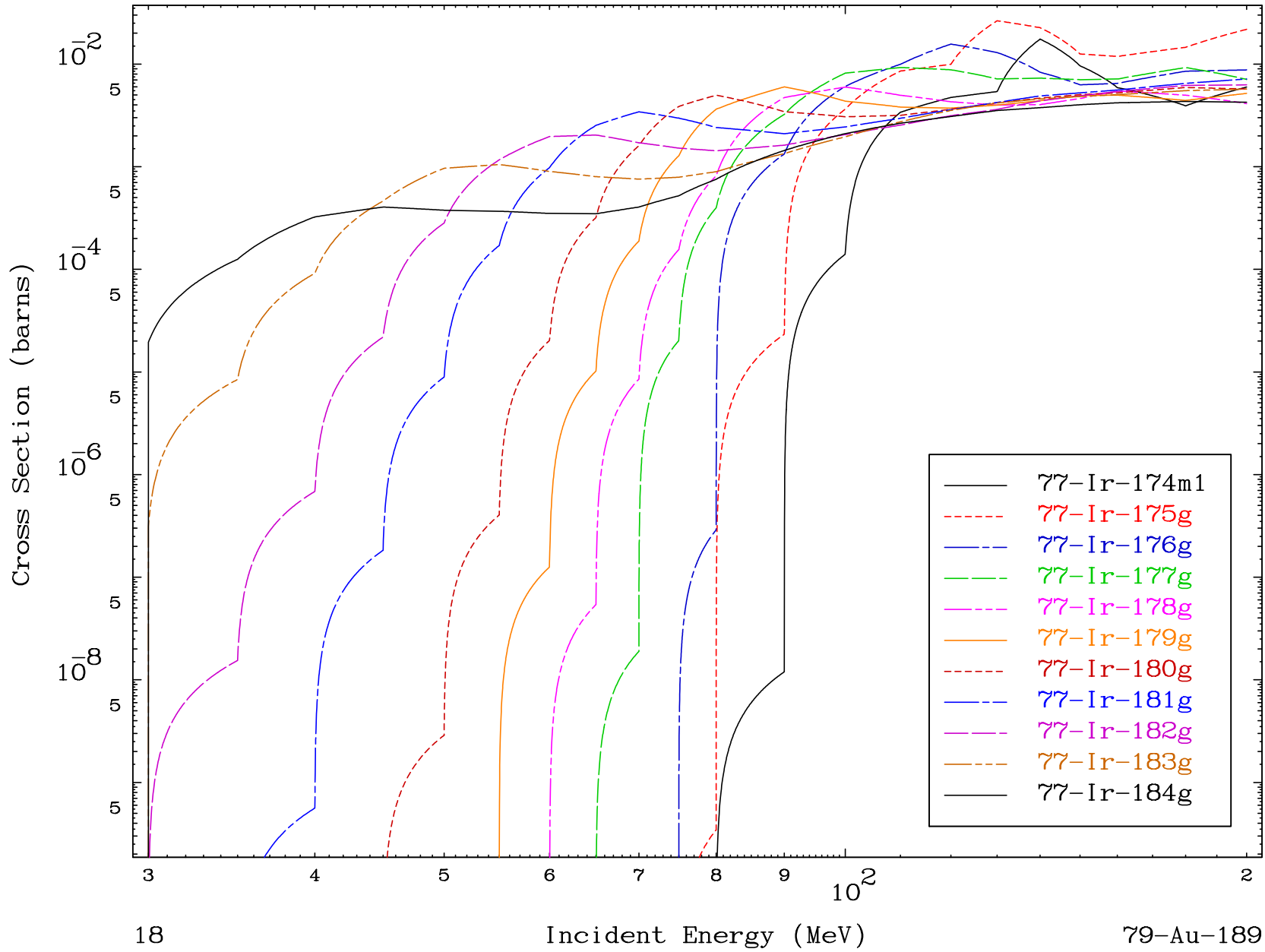


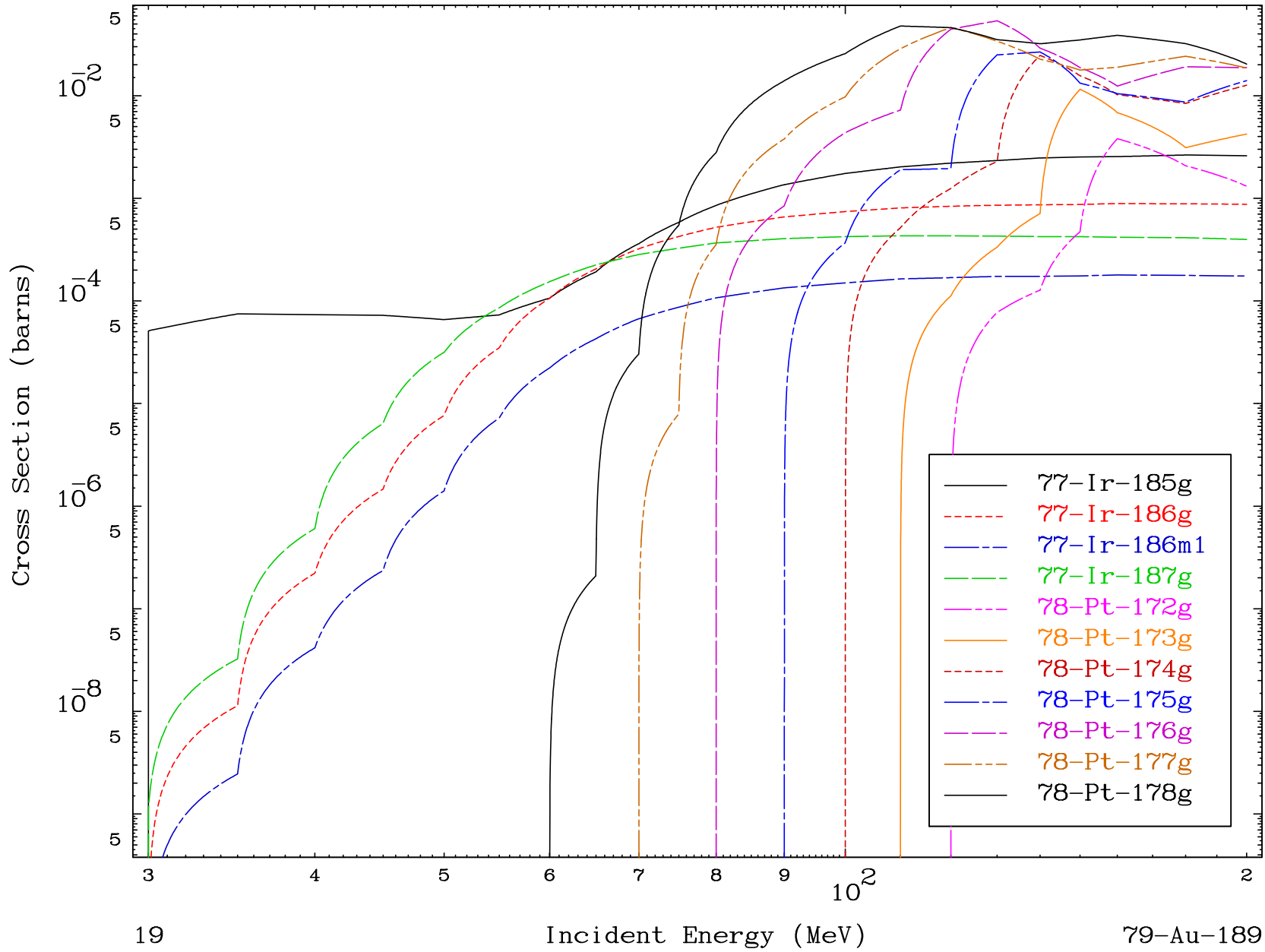




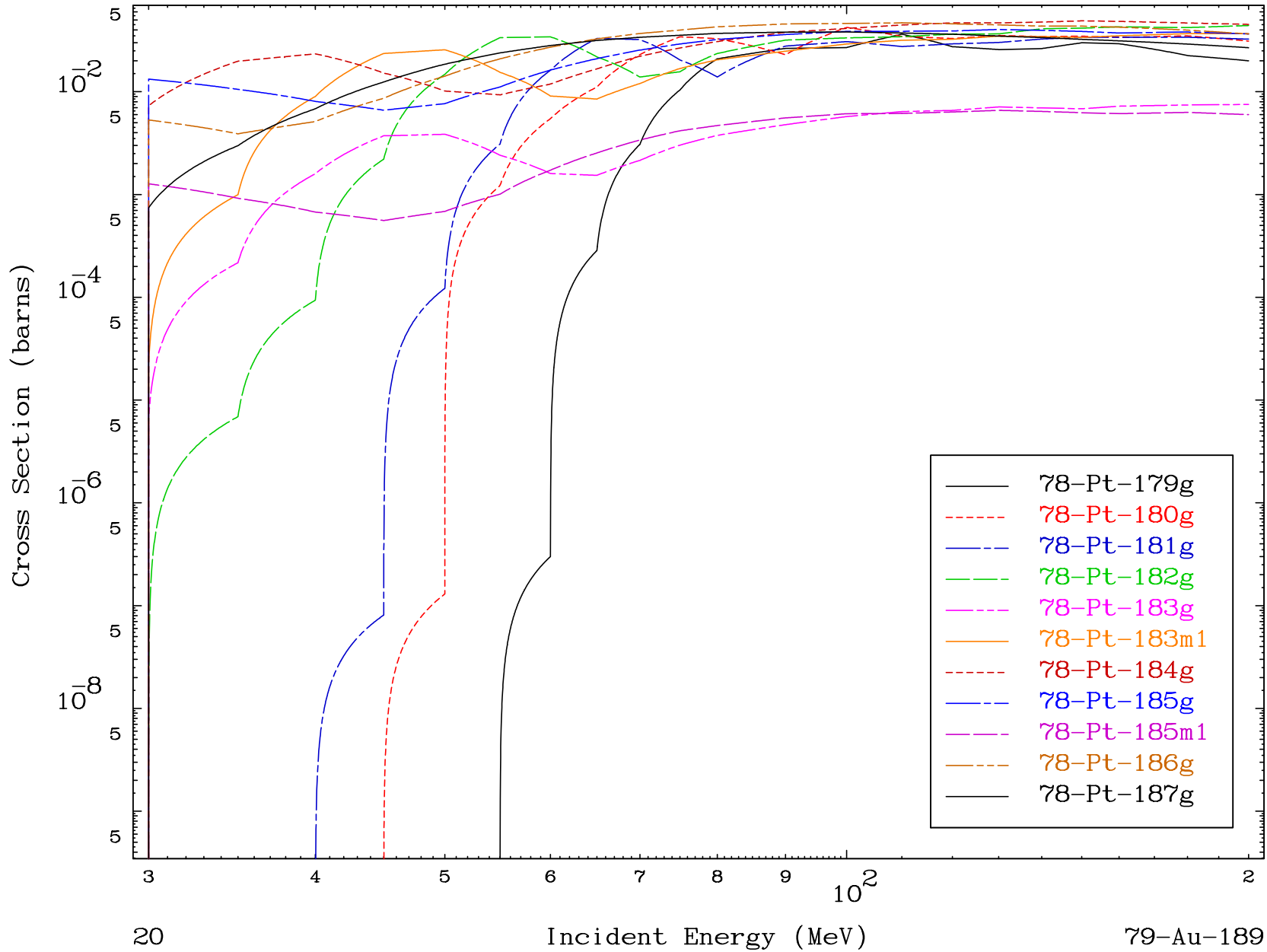
Radionuclide Production Cross Section







Radionuclide Production Cross Section

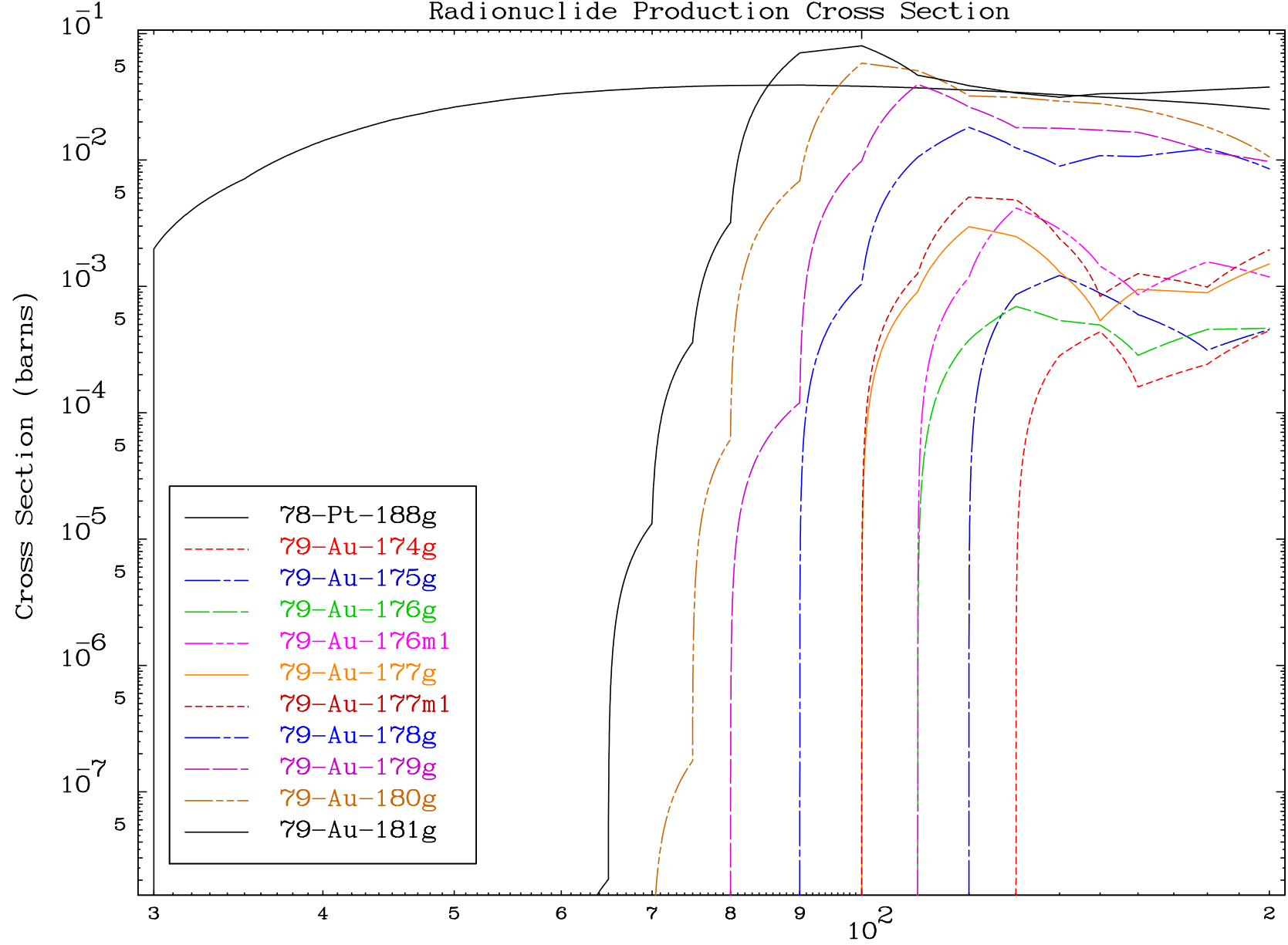


MAT 7902

(p,remainder)

79-Au-189

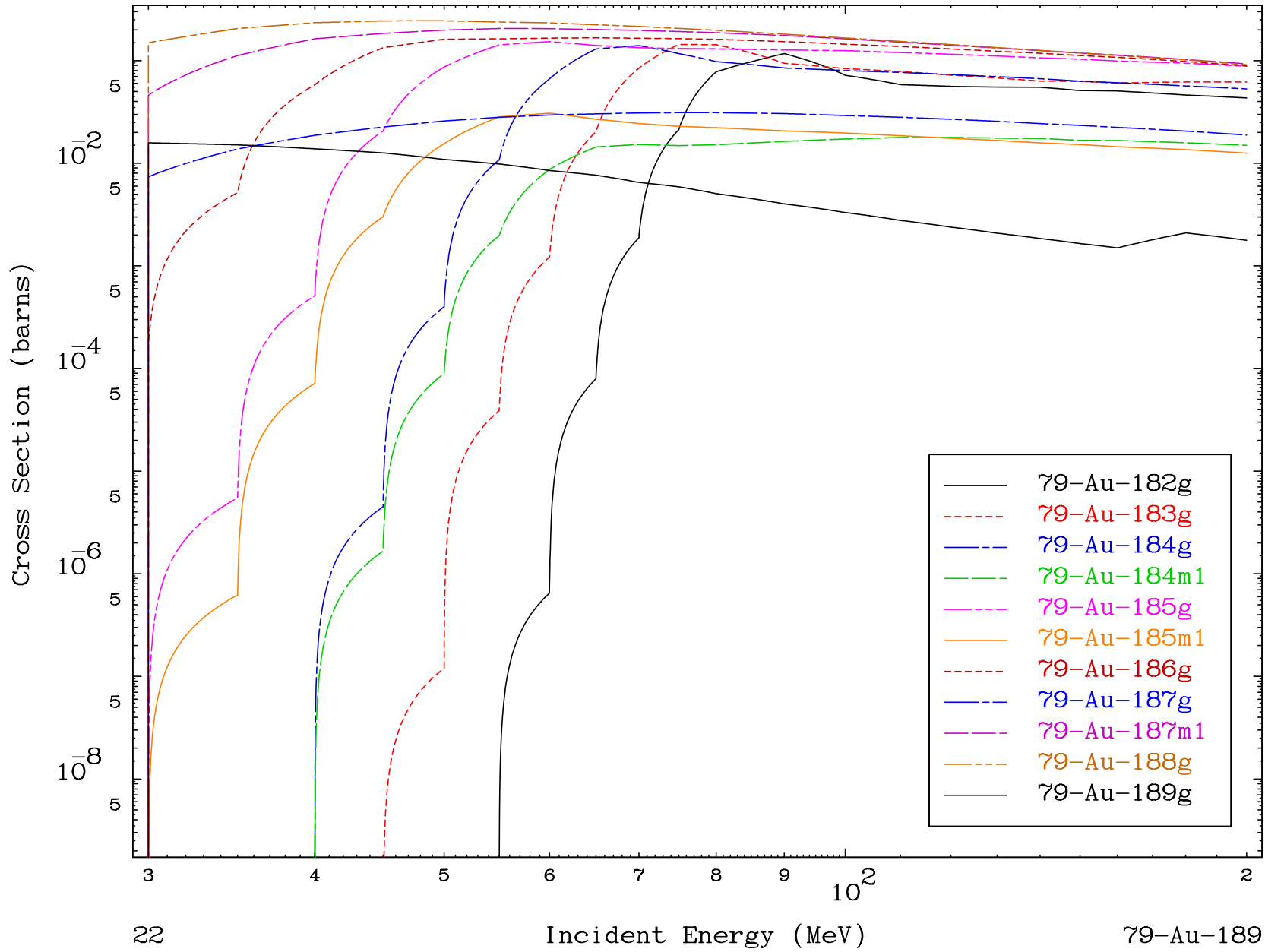
### Radionuclide Production Cross Section

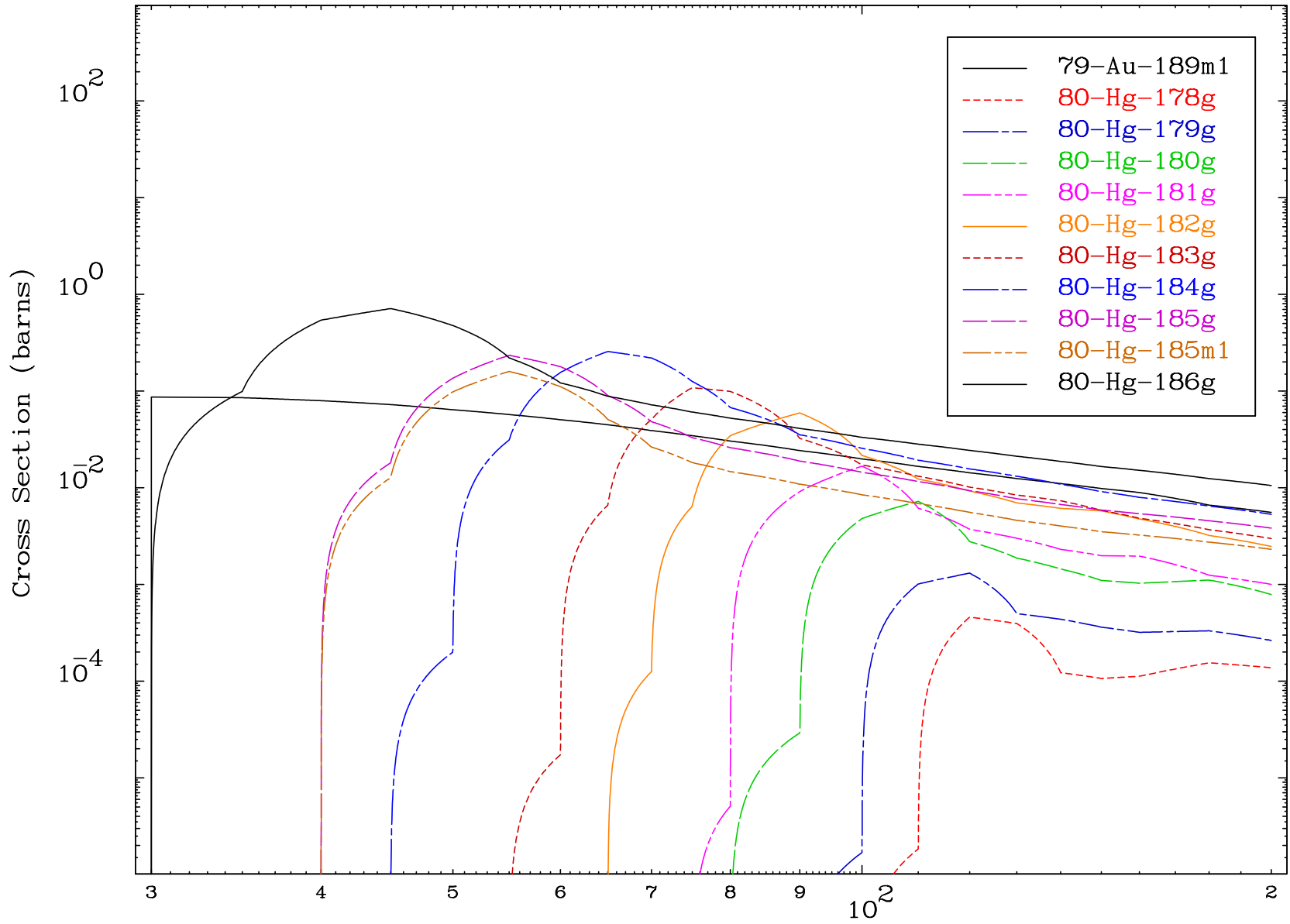


21

Incident Energy (MeV)

79-Au-189



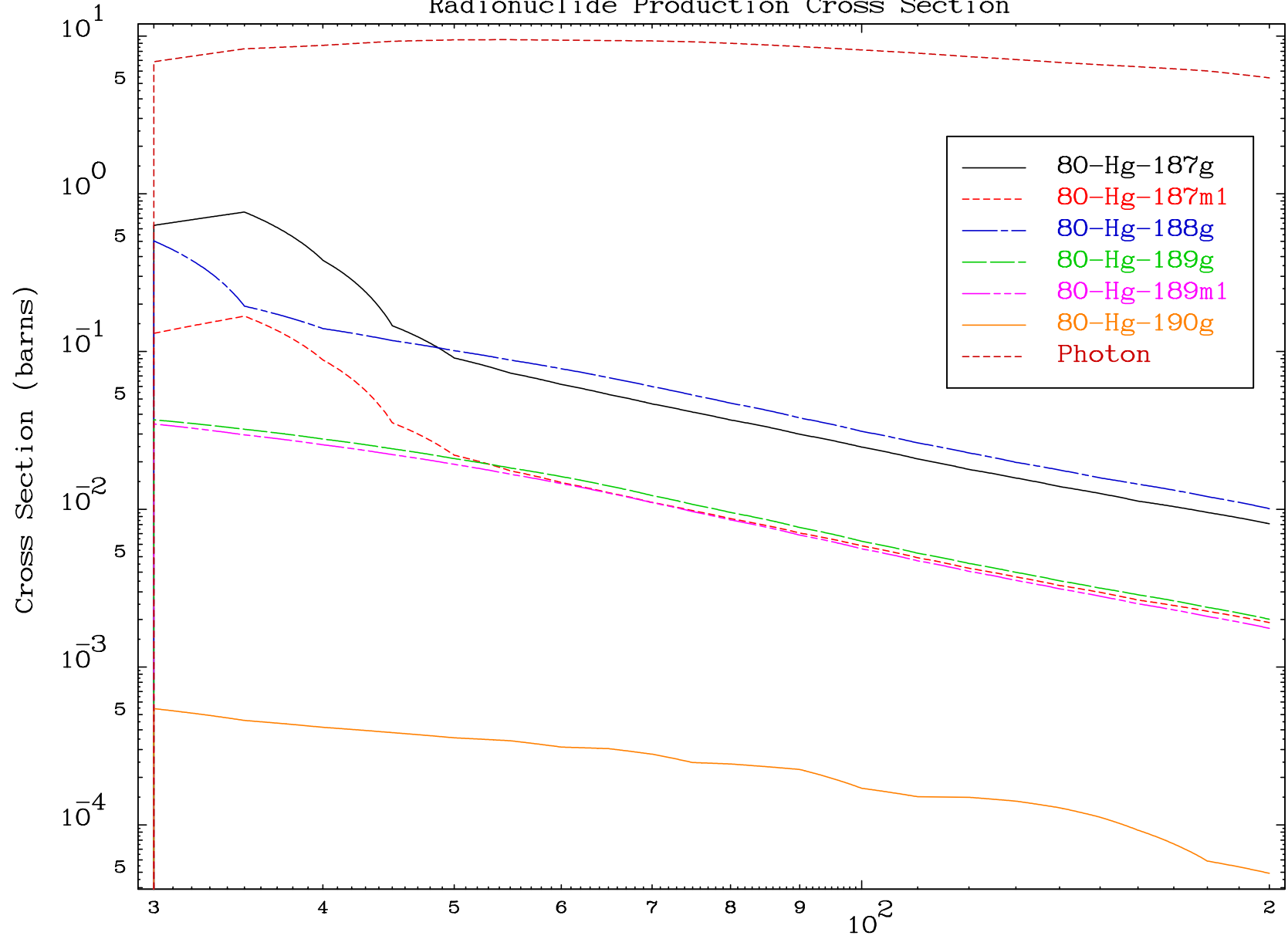


MAT 7902

(p,remainder)

79-Au-189

### Radionuclide Production Cross Section



24

Incident Energy (MeV)

79-Au-189

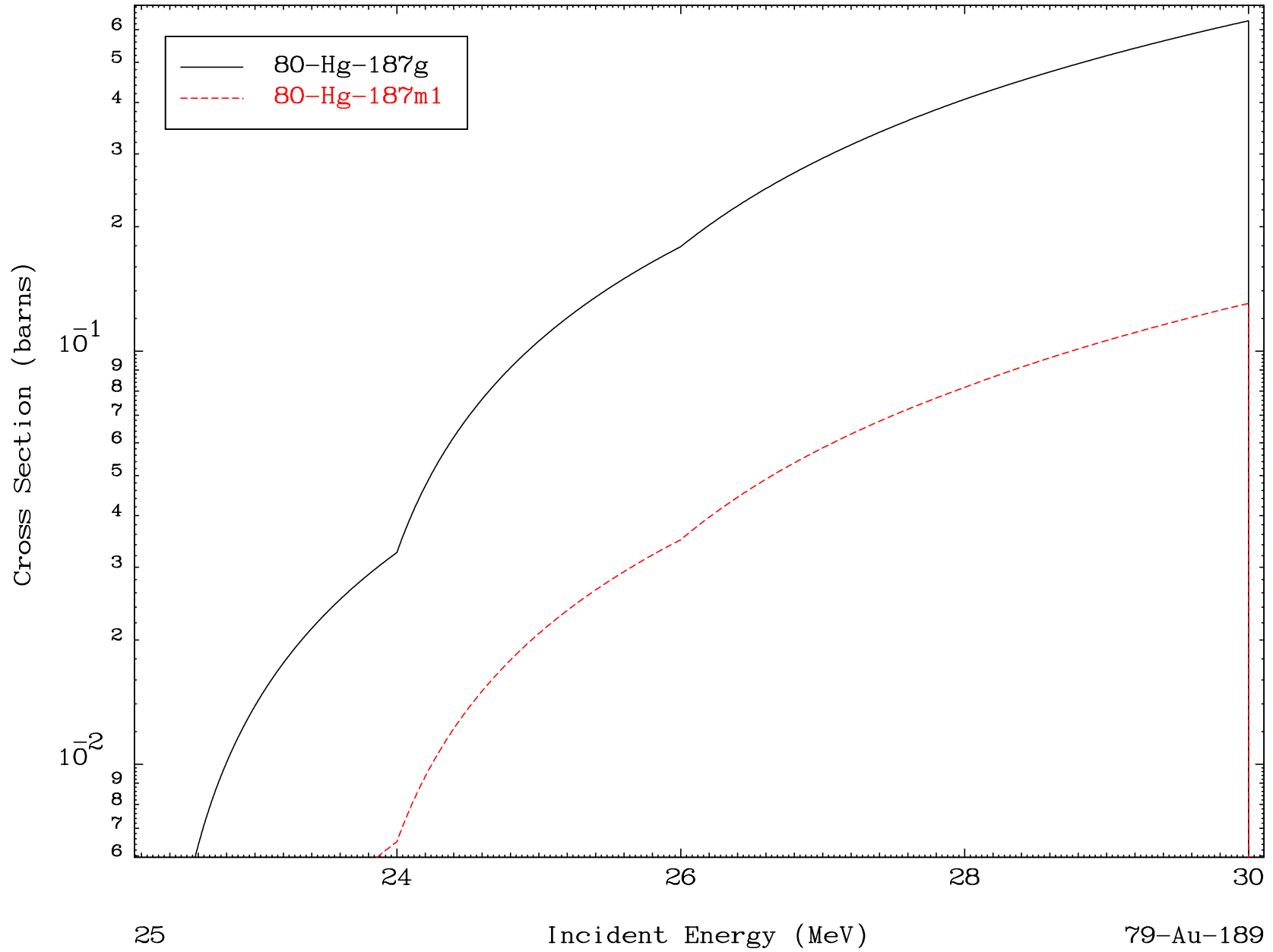


MAT 7902

(p,3n)

<sup>79</sup>Au-189

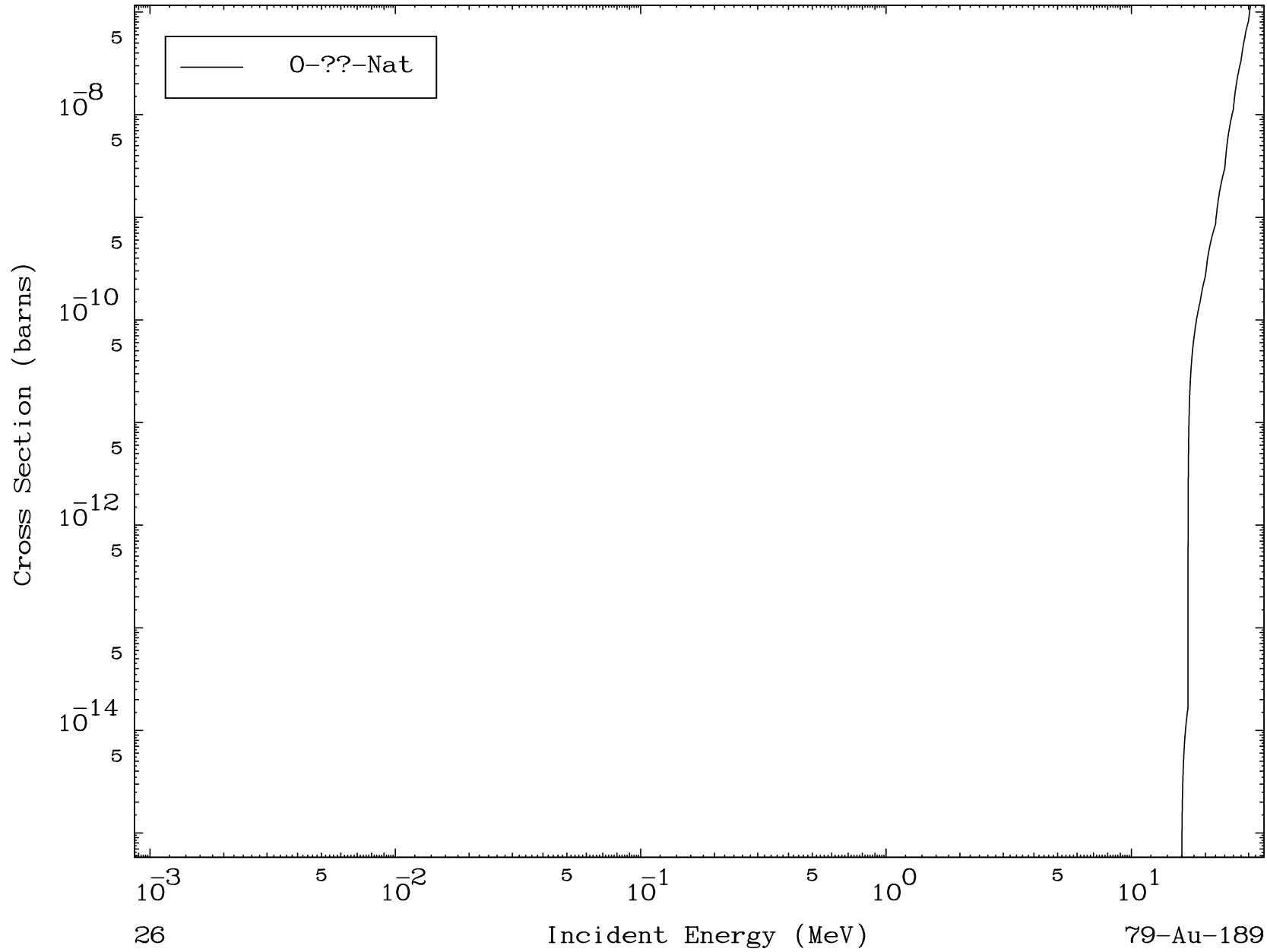
Radionuclide Production Cross Section



MAT 7902

Proton Fission  
Radionuclide Production Cross Section

79-Au-189



26

Incident Energy (MeV)

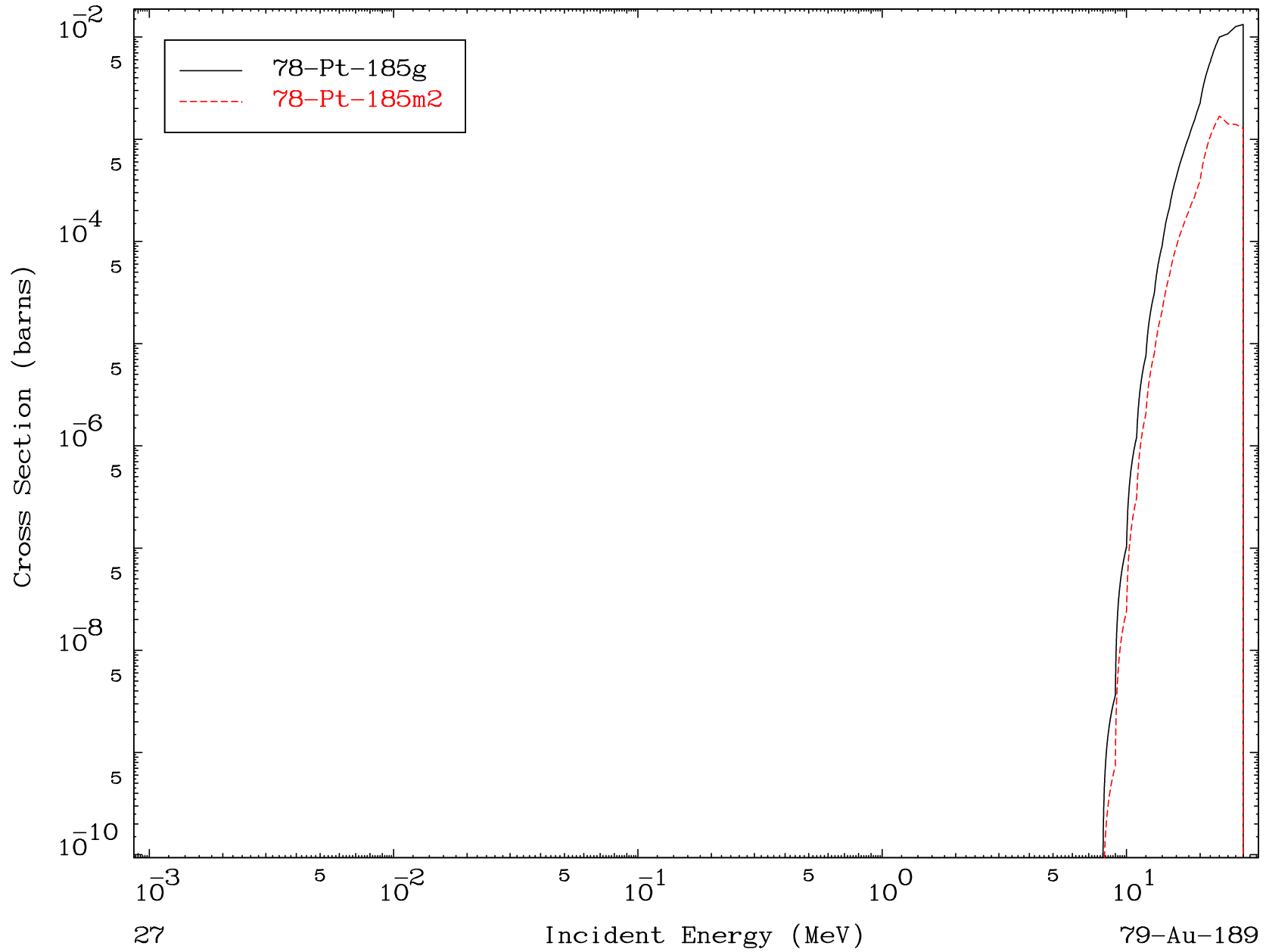
79-Au-189

MAT 7902

(p,n')  $\alpha$

79-Au-189

Radionuclide Production Cross Section

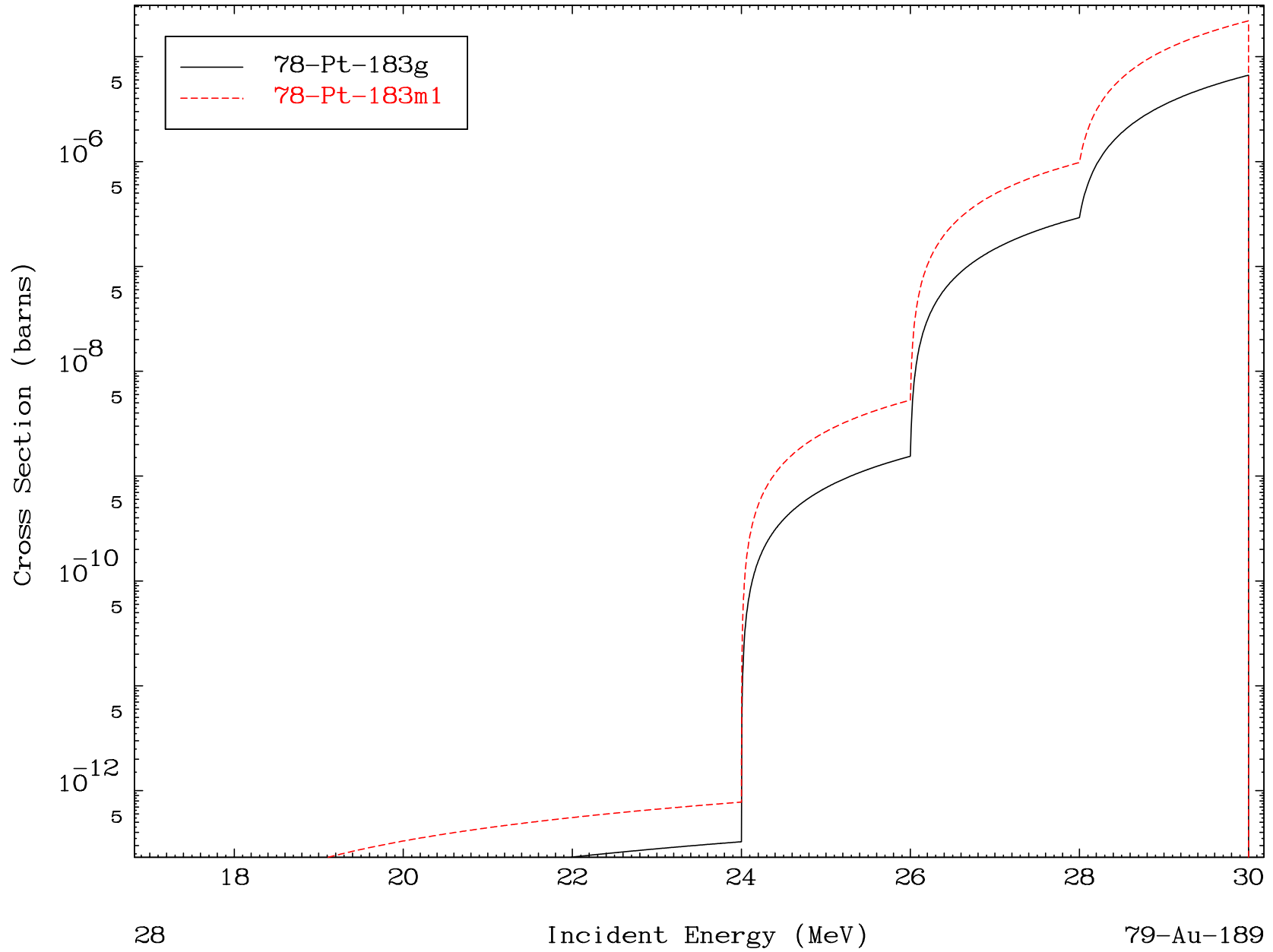


MAT 7902

(p,3n)  $\alpha$

79-Au-189

Radionuclide Production Cross Section

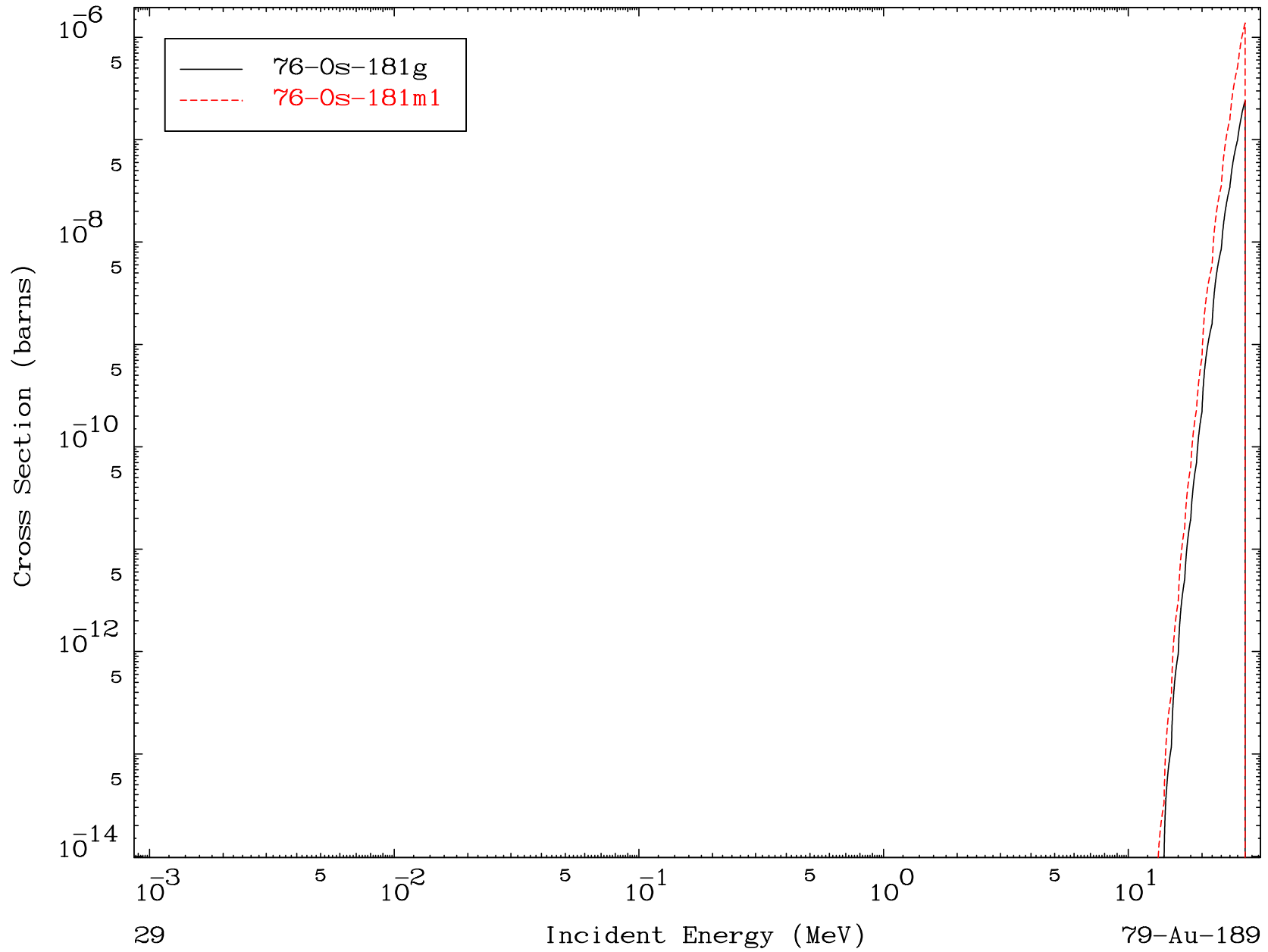


MAT 7902

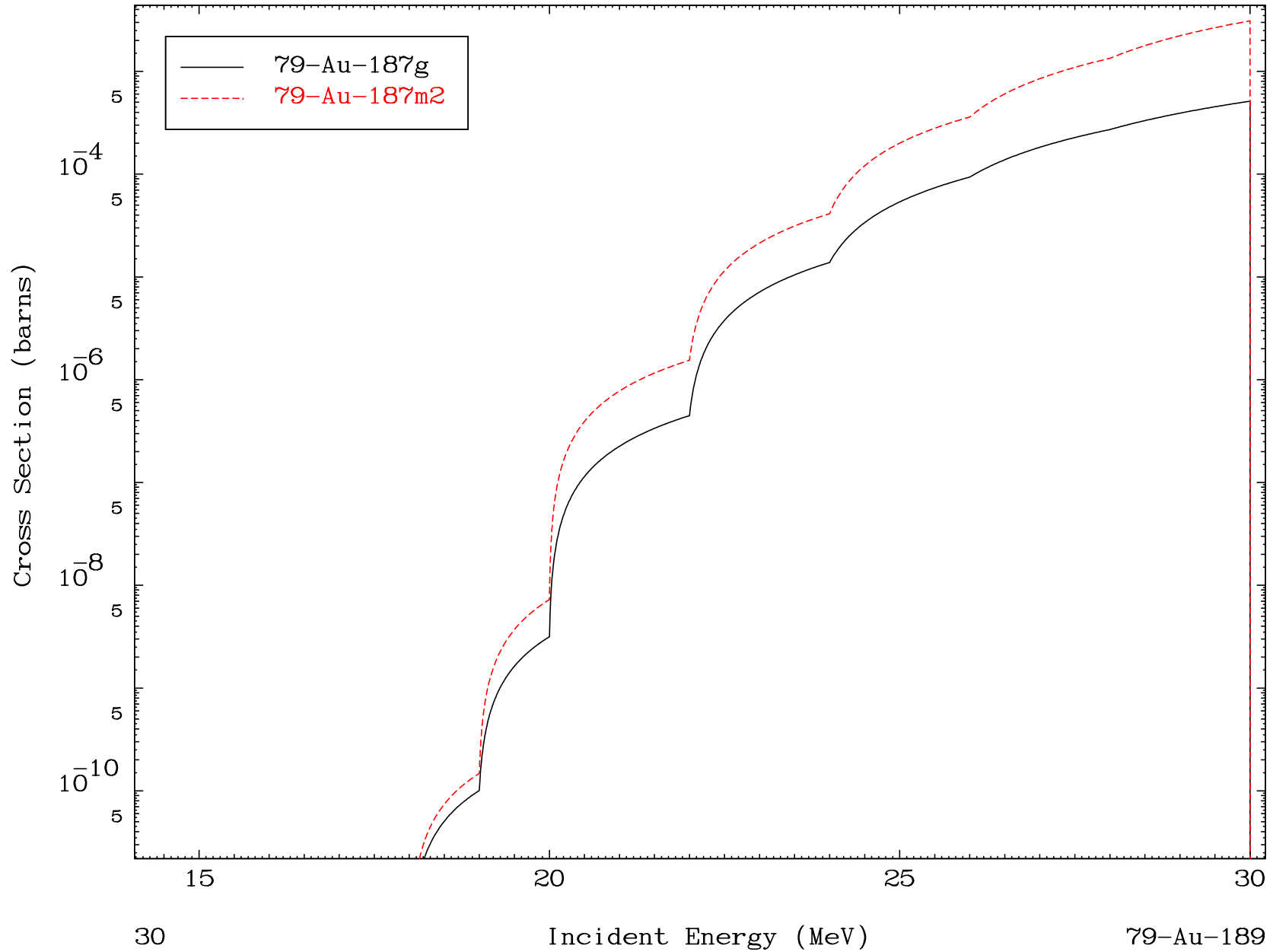
(p,n') 2 $\alpha$

79-Au-189

Radionuclide Production Cross Section



Radionuclide Production Cross Section

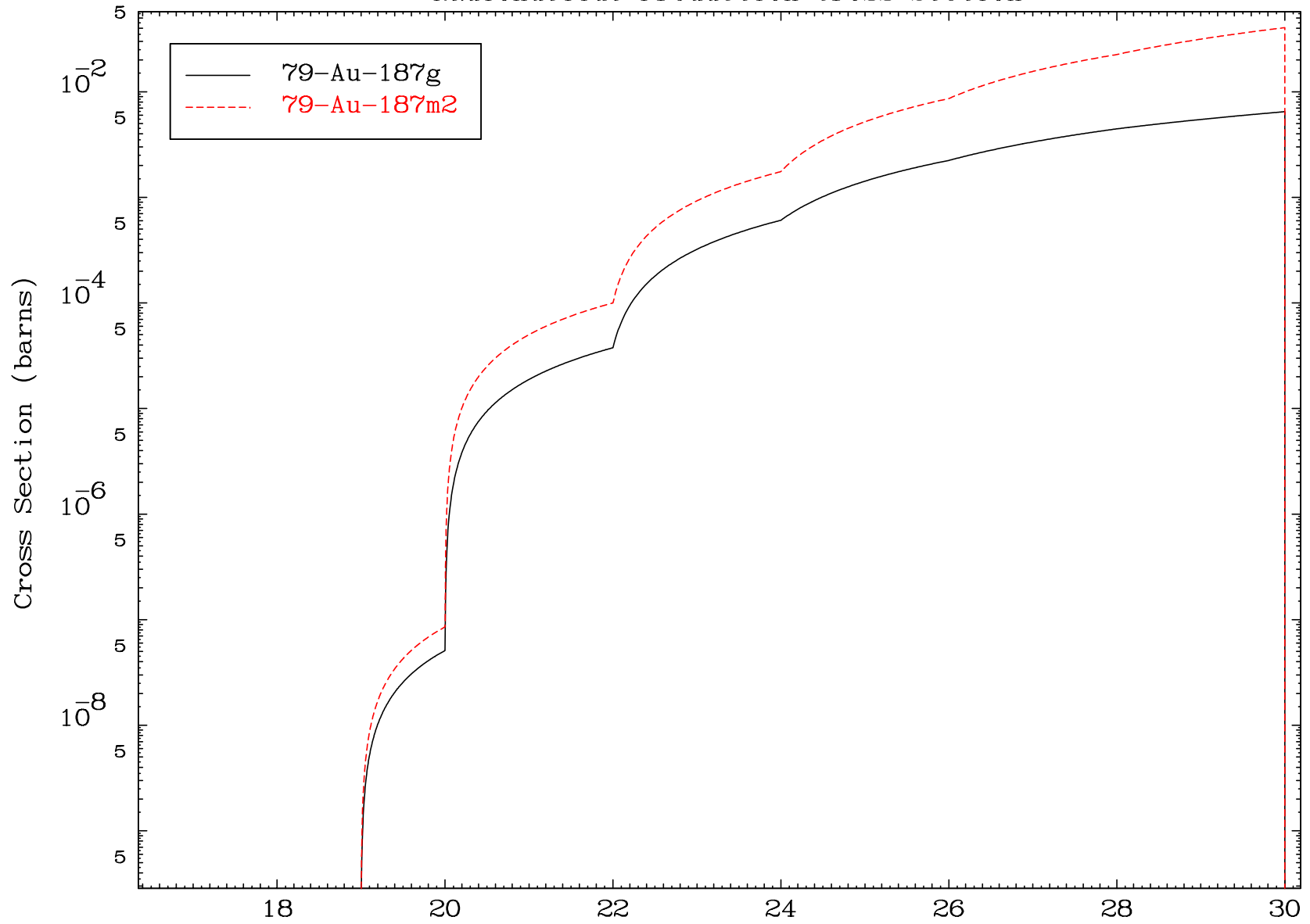


MAT 7902

(p,2n) p

79-Au-189

Radionuclide Production Cross Section

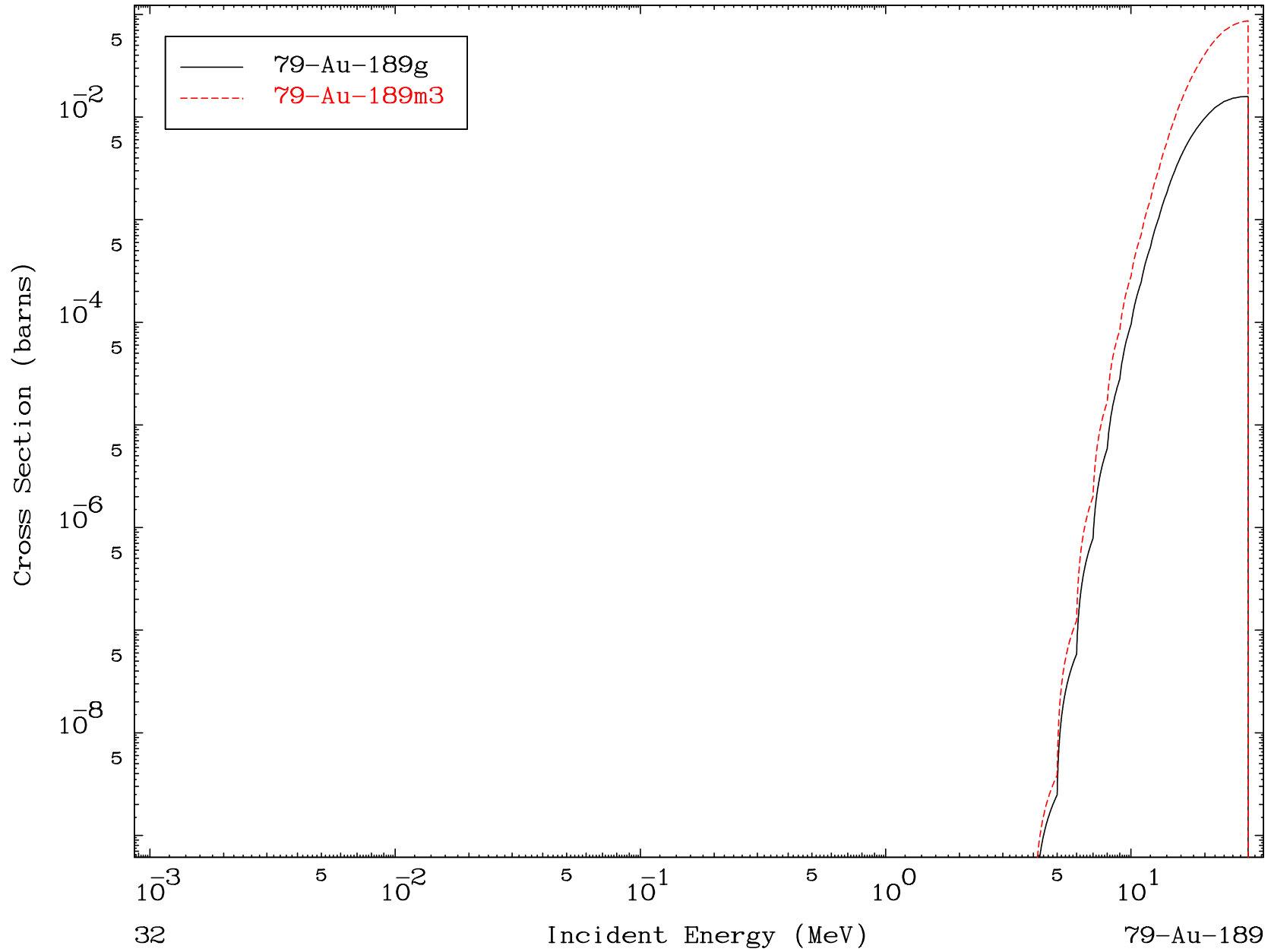


31

Incident Energy (MeV)

79-Au-189

Radionuclide Production Cross Section





Radionuclide Production Cross Section

